

# CARNOT USER TAG

## Überblick der Aktivitäten an der UIBK

FHNW, Muttenez, 16.01.2013

Fabian Ochs

Dr.-Ing.

AB für Energieeffizientes Bauen

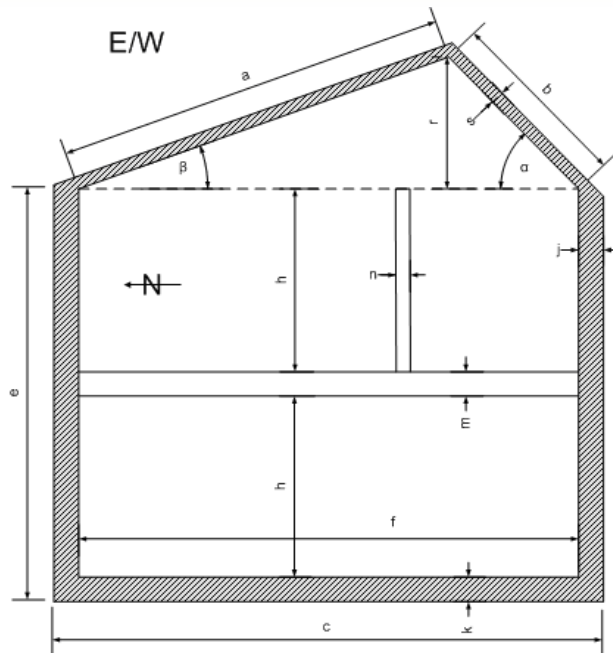
Fakultät für Technische Wissenschaften

UIBK, Innsbruck

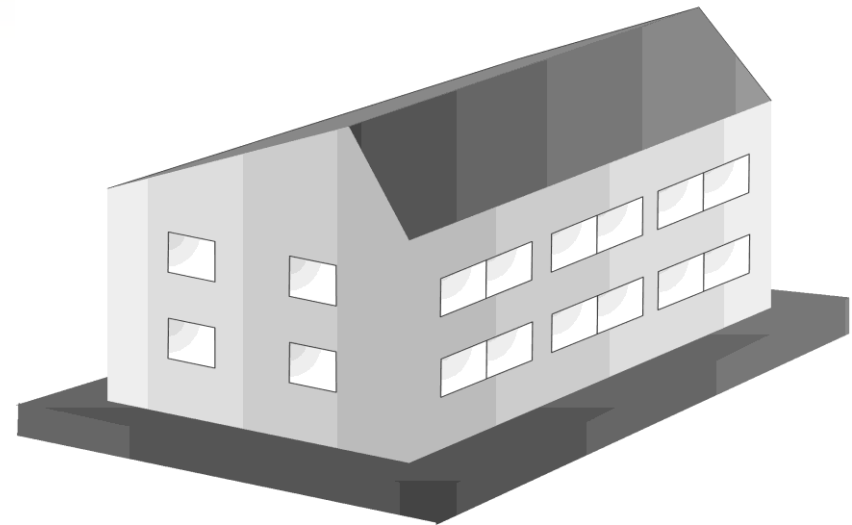
# Aktivitäten

- Gebäudemodel(le)
  - (TABS vs. Radiator)
  - (Klima )-;)
- Erdreich-Wärmeübertrager
  - horizontal
  - vertikal
- Wärmepumpen-Berechnungsmodell („cross-validiert“ mit CARNOT)
- Hygrothermische Wand
- PV vs. ST für MFH
- Vergleich SolarAktivhaus und Passivhaus (TRNSYS + CARNOT)

# Referenzgebäude IEA T44 (SFH15)



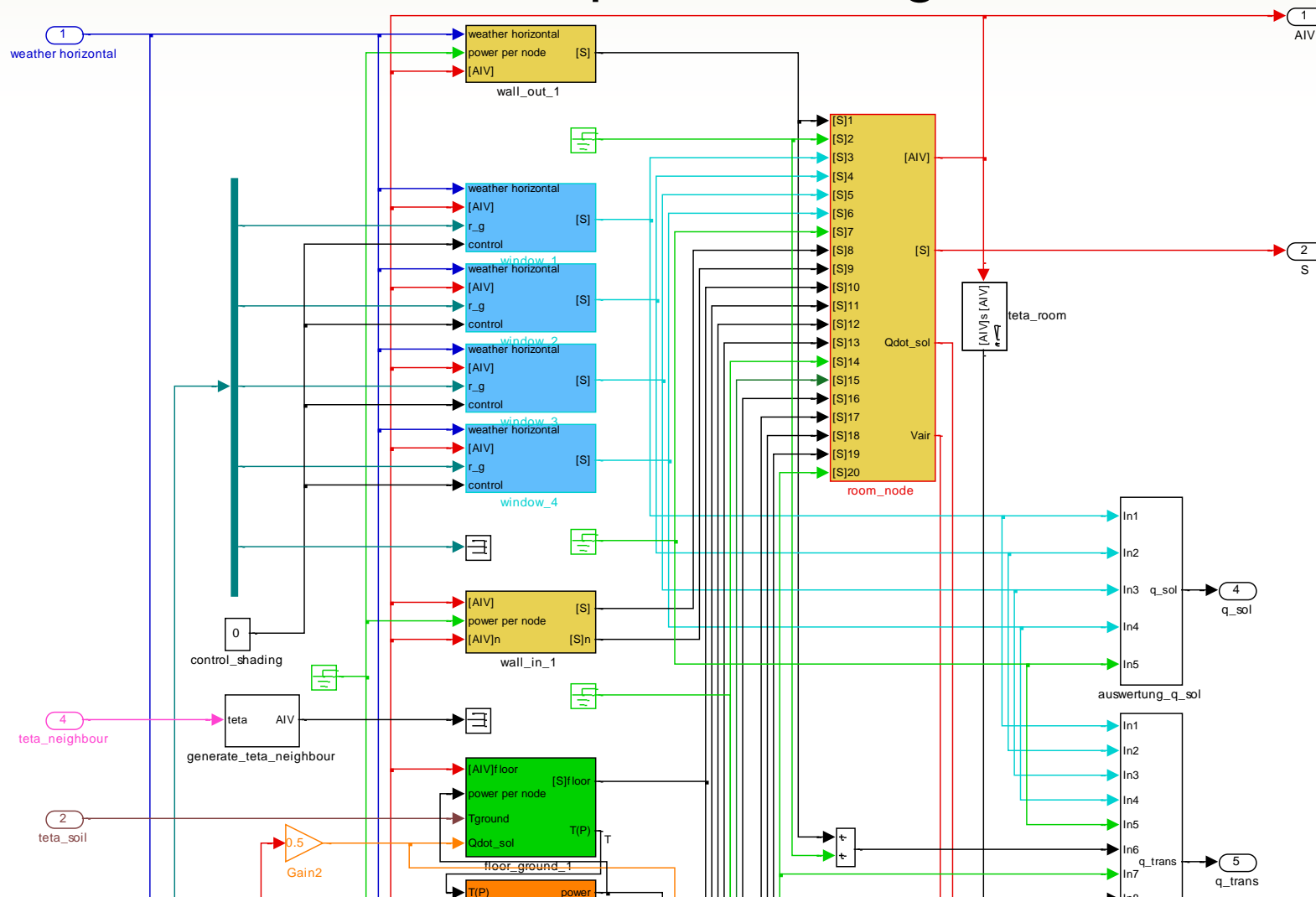
View of the E/W section of the building



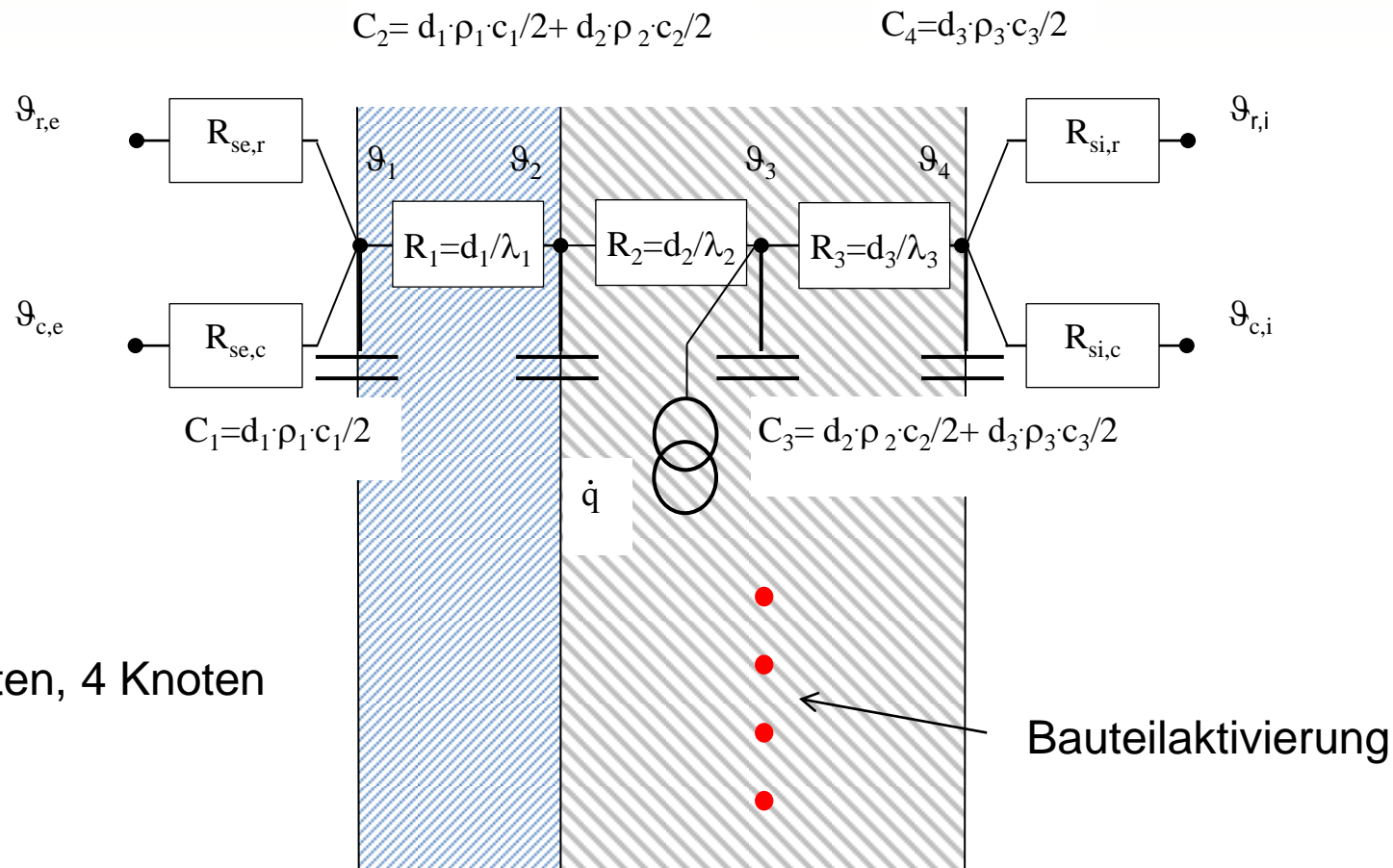
Simple view of the house (showing South and West facades)

part	a	b	f	g	h	m	n	r	$\alpha$	$\beta$
measure	5.46 m	2.64 m	7 m	10 m	2.6 m	0.4 m	0.2 m	1.87 m	45°	20°

# „complex building model“



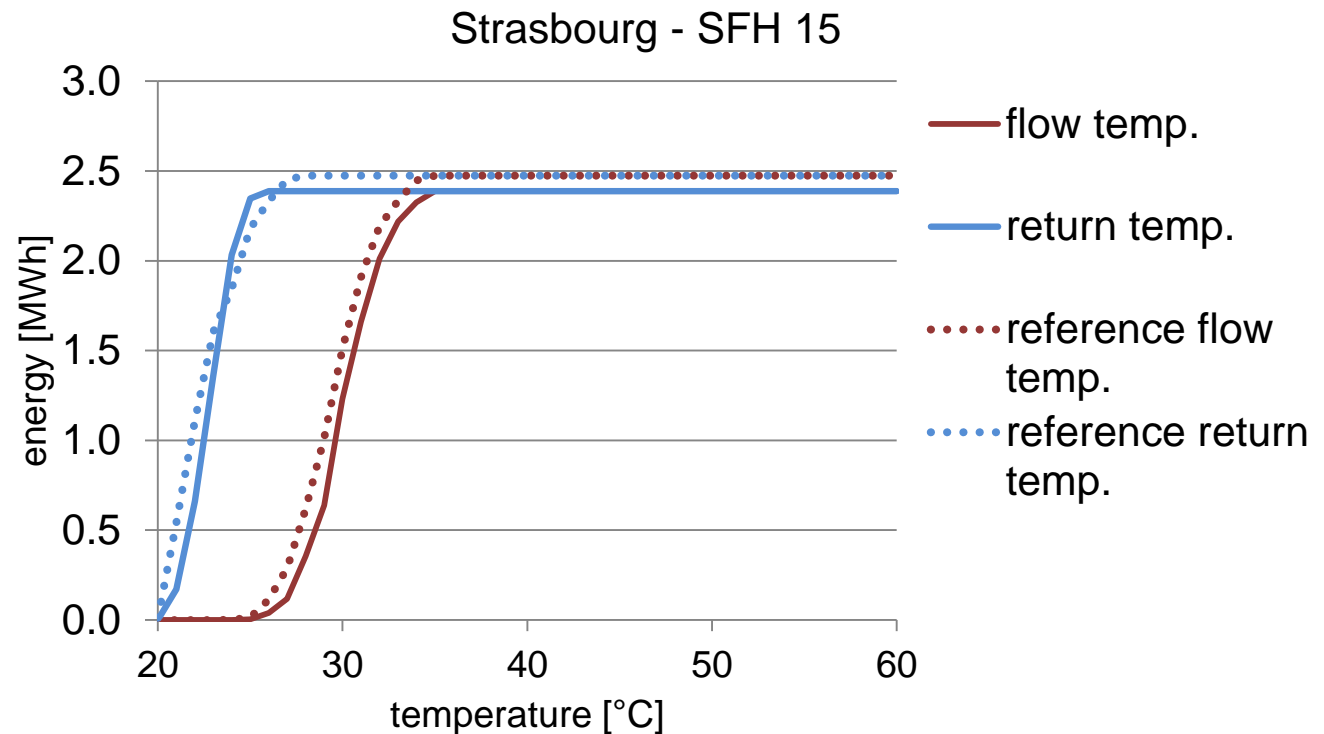
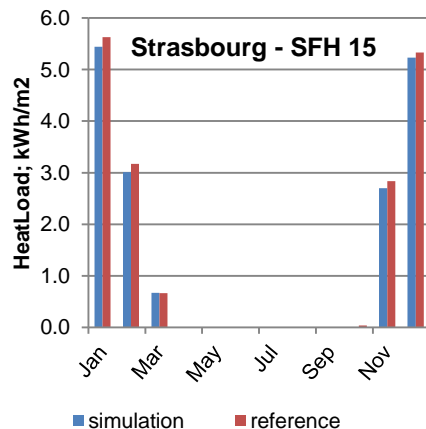
# Wandmodell „complex building model“



Bsp.:  
2 Schichten, 4 Knoten

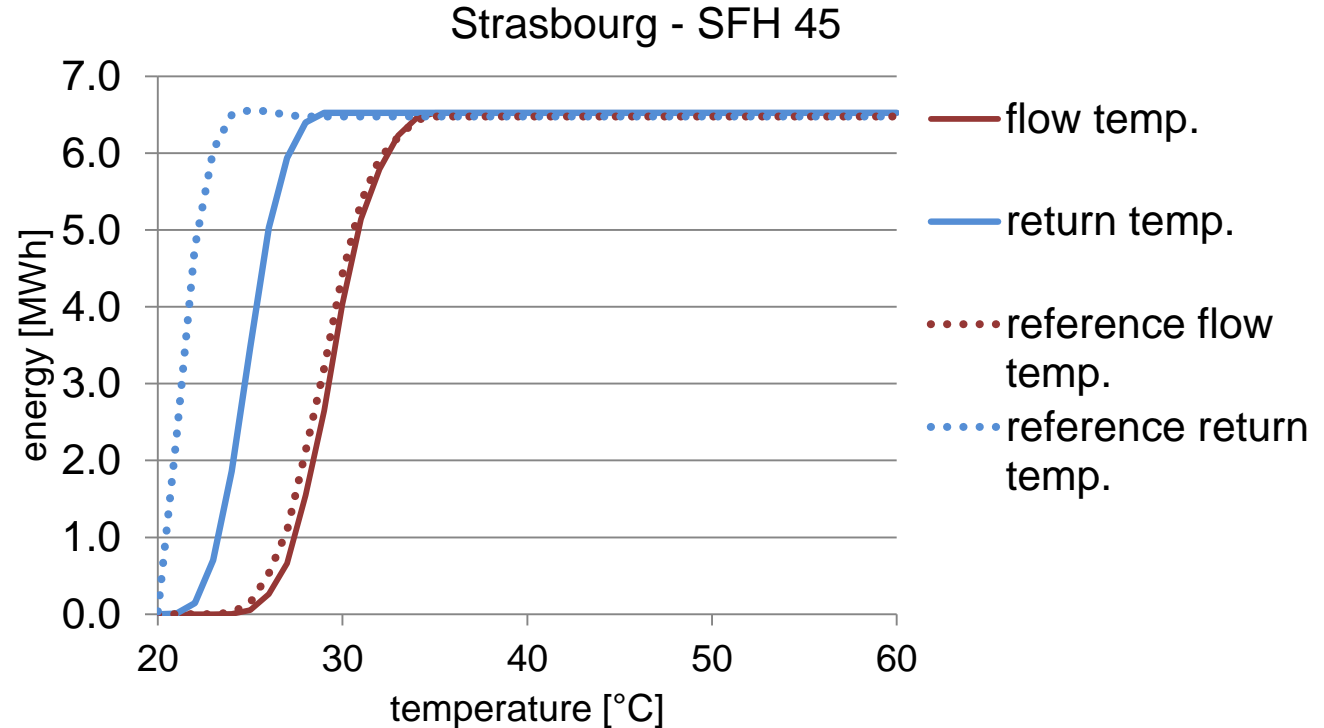
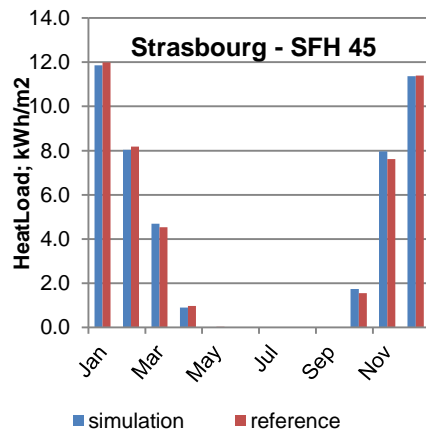
# Vergleich Carnot – Trnsys (reference)

Standort: Strasbourg



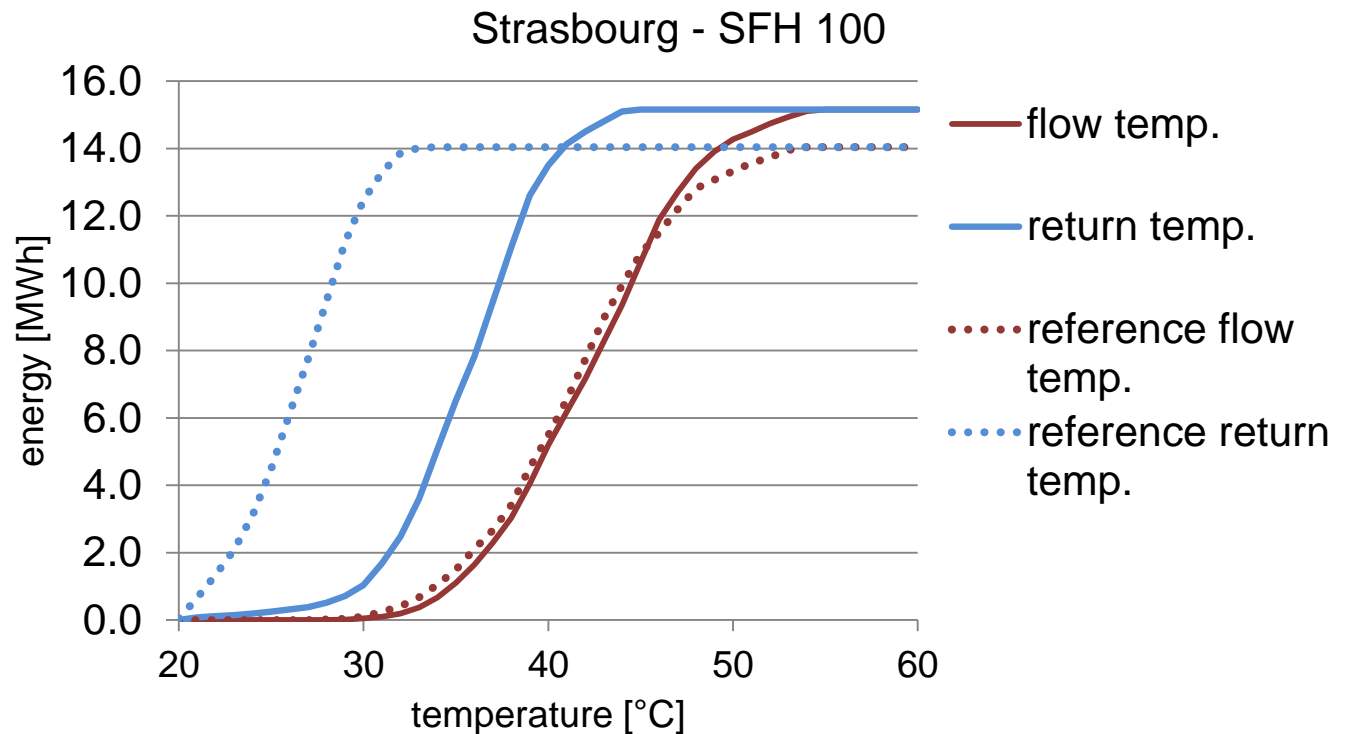
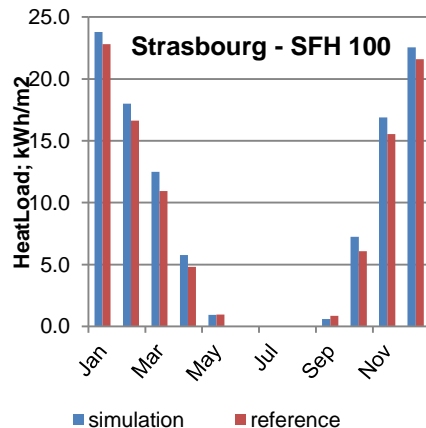
# Vergleich Carnot – Trnsys (reference)

Standort: Strasbourg



# Vergleich Carnot – Trnsys (reference)

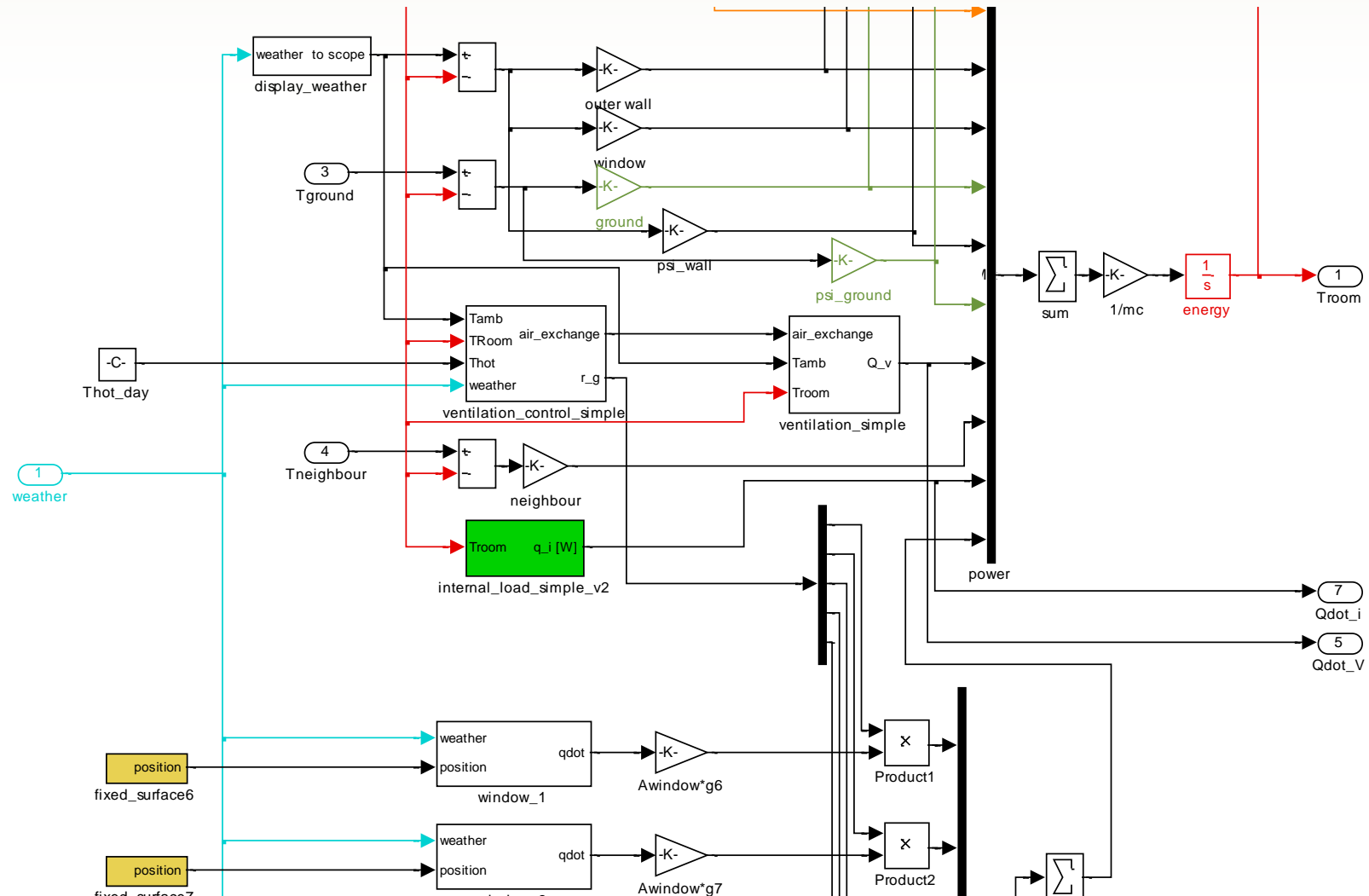
Standort: Strasbourg





# CARNOT USER TAG; 2013

## „simple building model“



# simple vs. complex building model

## Vereinfachungen

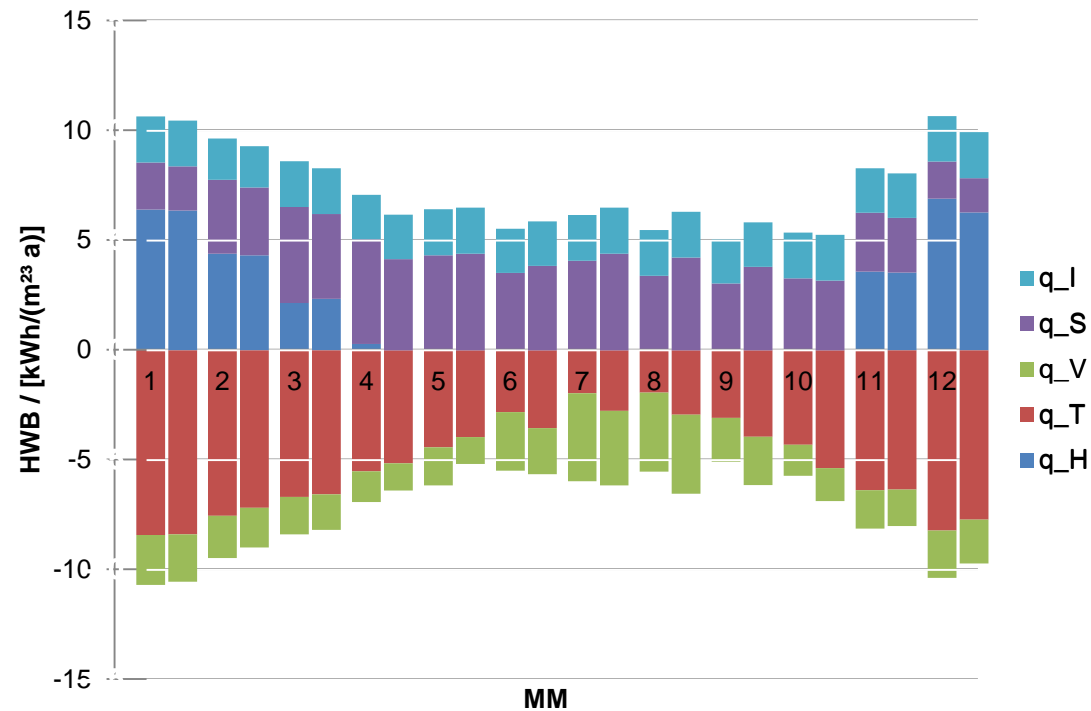
- 1\*-model
- „lumped mass“
- Leitwerte ( $UA, \dot{V} \cdot \rho \cdot c_p$ )
- solare Gewinne ( $g \cdot I_s \cdot f$ )

⇒ „wie PHPP“ (Monatsbilanz, ISO 13790)

## Anpassungsparameter

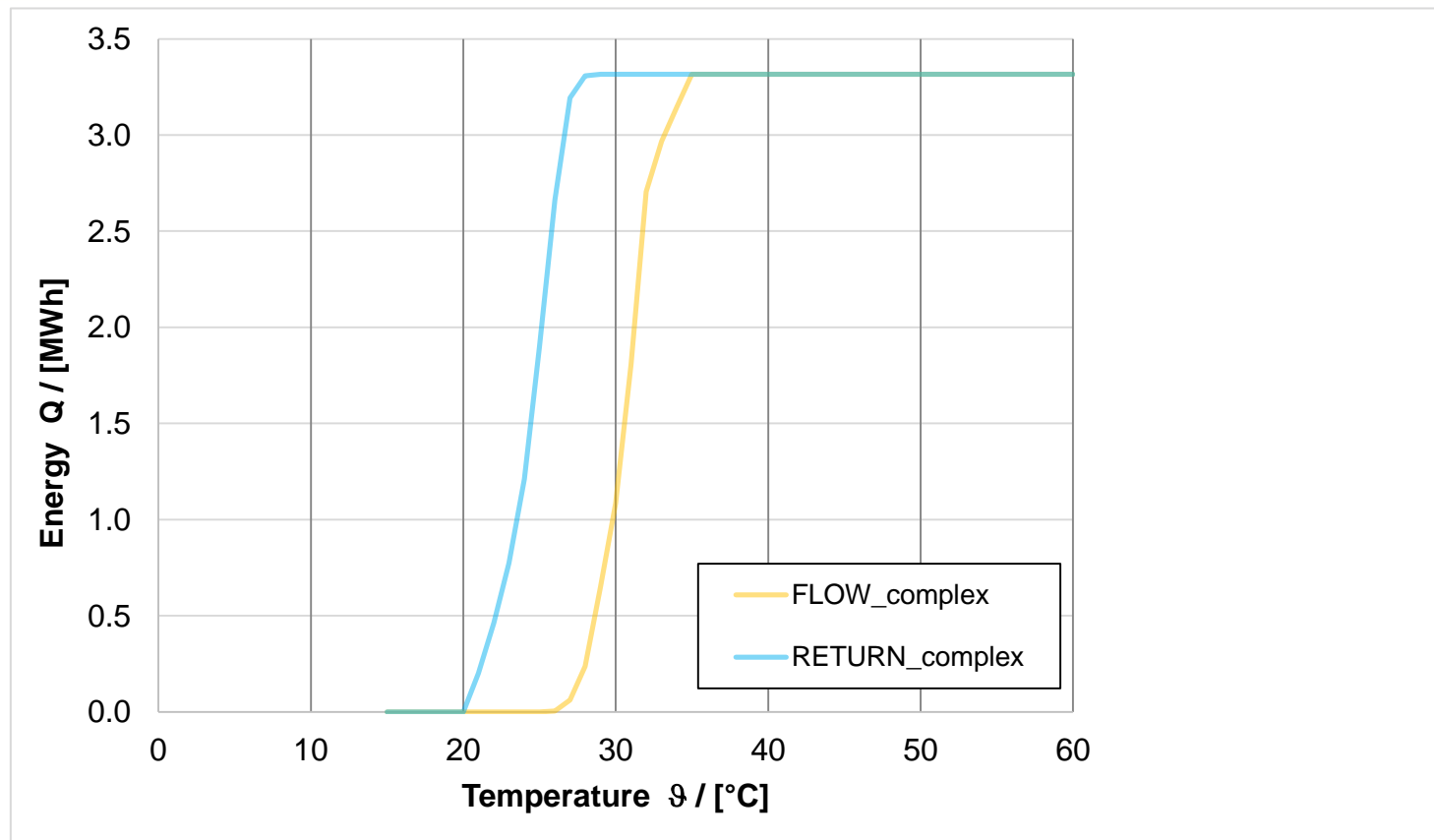
- Radiatorexponent, Masse Radiator ( $mc_p$ )
- Masse Luftknoten des Gebäudes ( $mc_p$ )

# Monatsbilanz



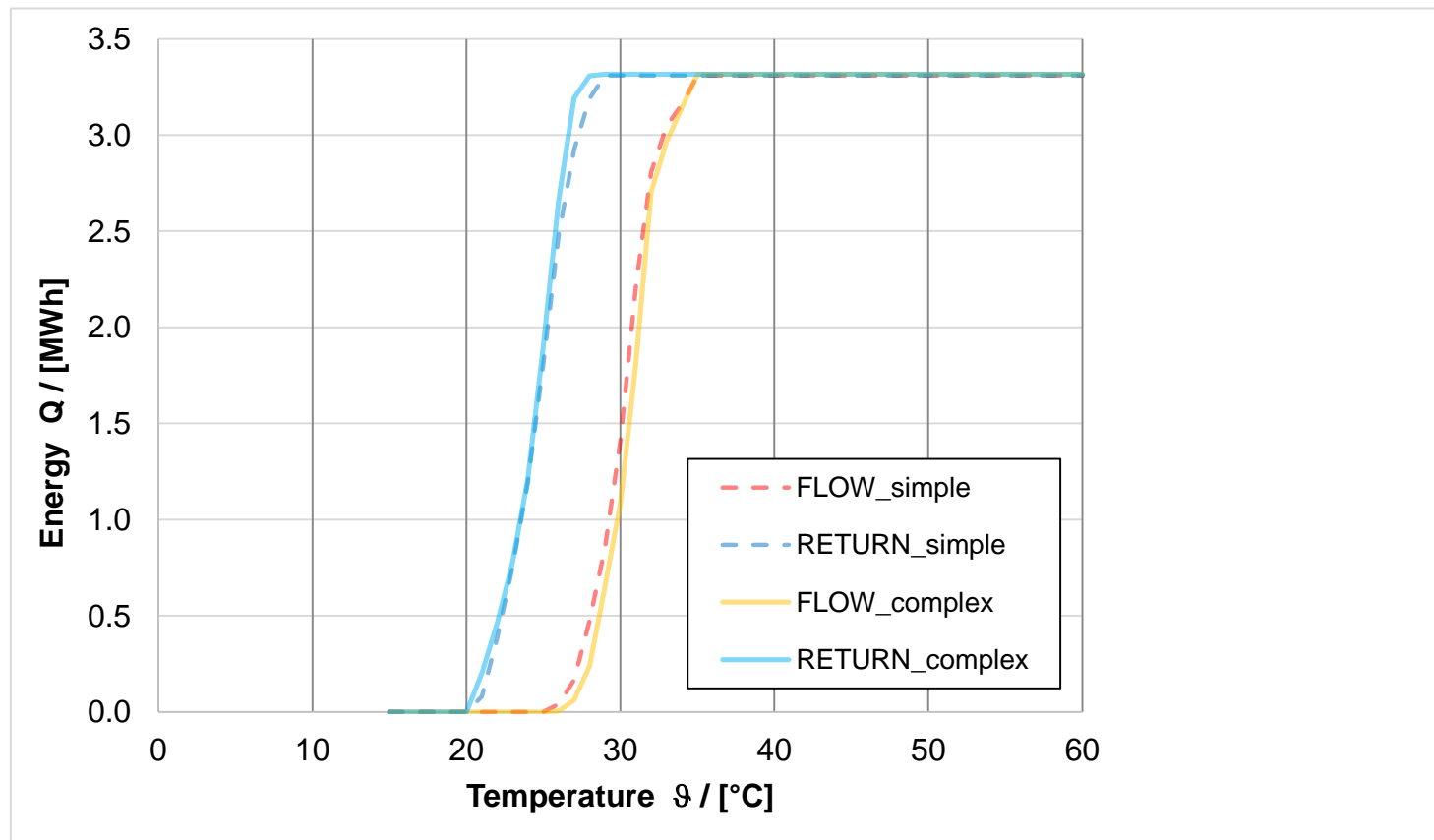
# Lastkurven – complex building model

Standort: Innsbruck

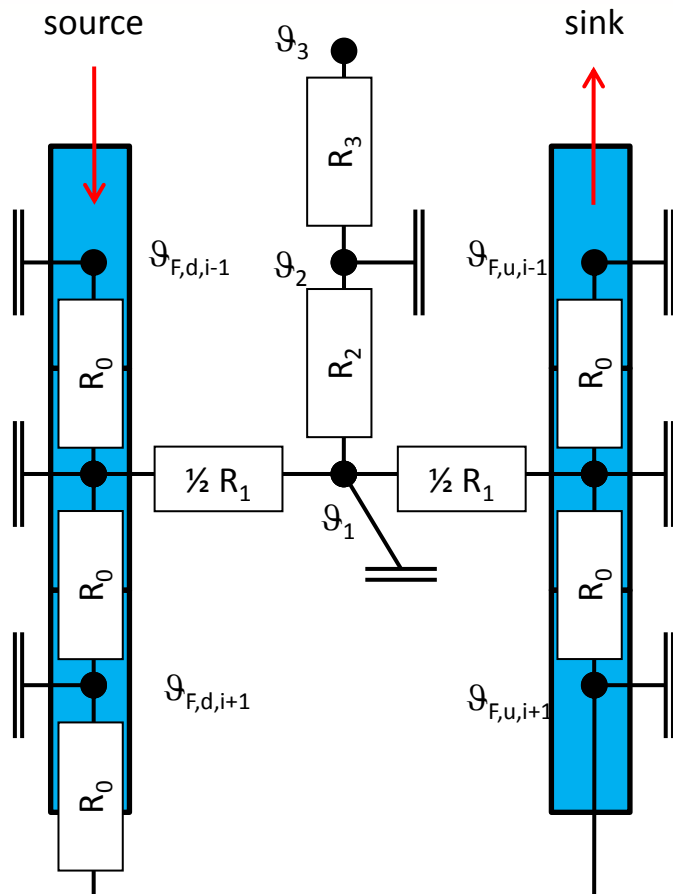


# Lastkurven – complex and simple building model

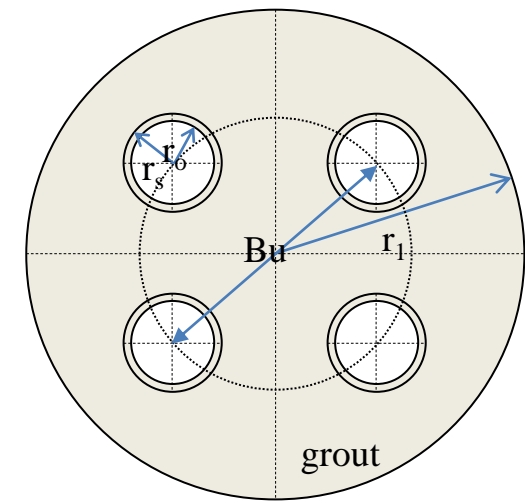
Standort: Innsbruck



# CARNOT EWS model



- on-off massflow
- g-function
- initial temperature field
- validation



# Vergleich EWS – Thermal Response Test

Vergleich Messung und Simulation  
(R1, R2), (Berechnung, kein Fit)

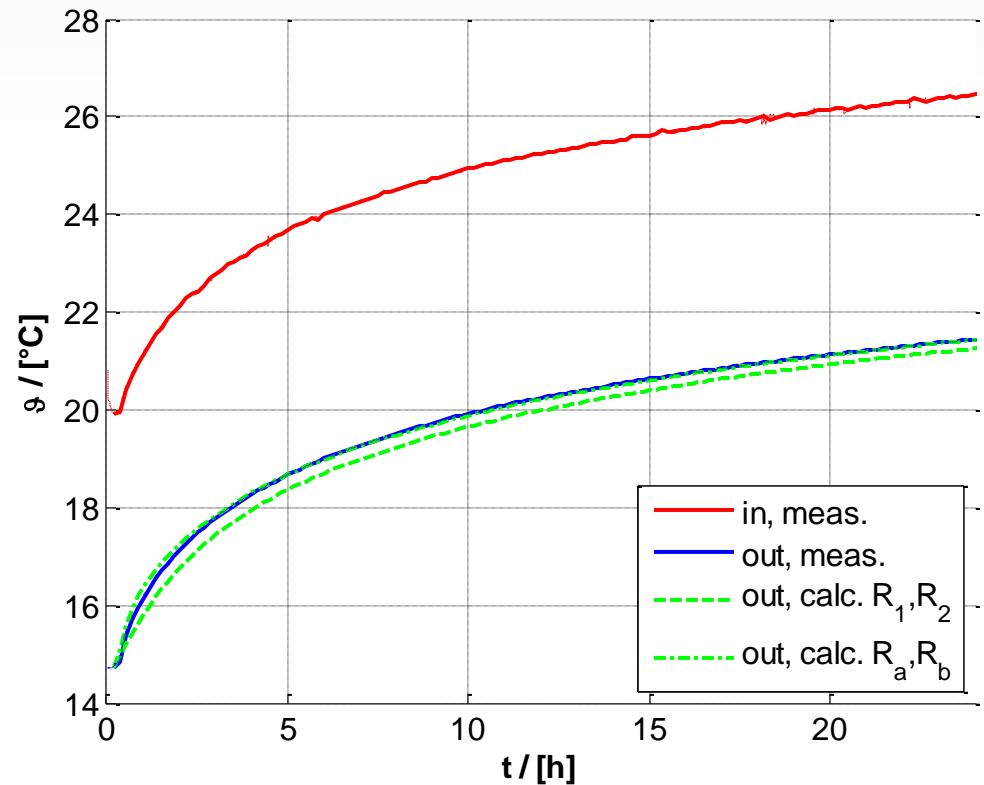
	Q (90h) / [kWh]	Q (24 h) / [kWh]
TRT	825.5	436.5
EWS	847.3	455.7
err / [%]	2.7	4.4

Daten: TRT, ZAE Bayern

2-U, H = 193 m,  $D_b = 0.2$  m,  $D = 40/3.7$  mm

$\dot{m} = 0.44$  kg/s (Wasser)

$\vartheta_g = 14.7$  °C

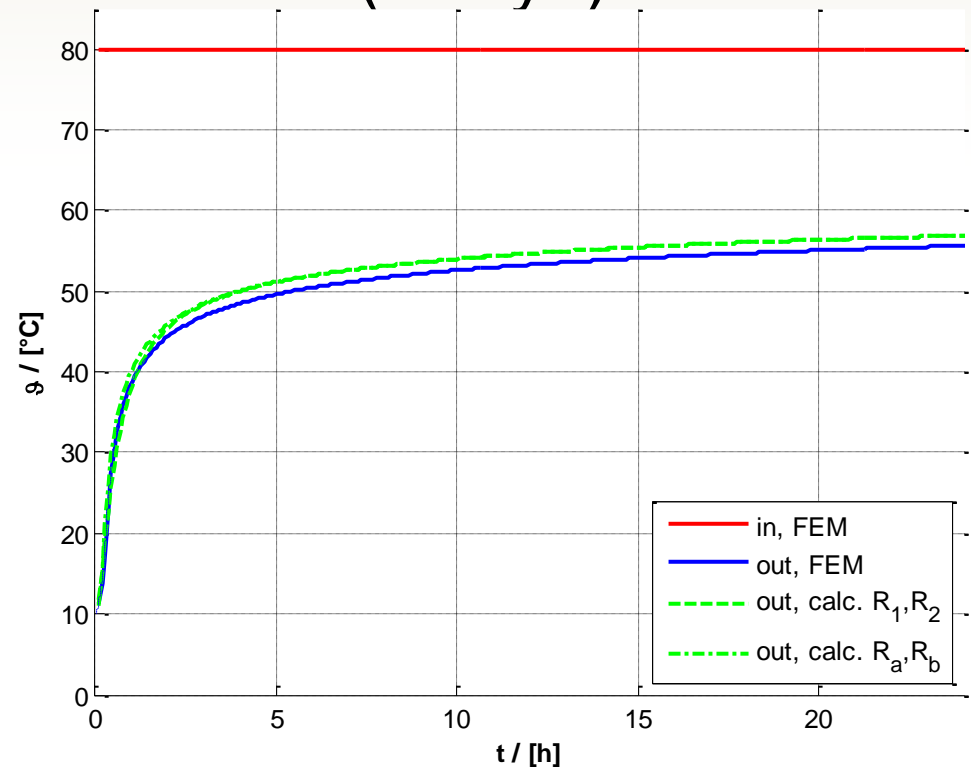


	grout	soil
$\lambda$ / [W/(m K)]	2.1	2.3
$\rho$ / [kg/m <sup>3</sup> ]	2500	2500
$c$ / [J/(kg K)]	800	800

## Vergleich EWS – FEM (Ansys)

Vergleich Berechnung und Simulation (R1, R2)

	Q (2160h) / [kWh]	Q (24 h) / [kWh]
FEM	38138.7	715.2
EWS	38085.7	690.6
err / [%]	0.14	3.4



Daten: ANSYS FEM Simulation

D. Bauer, ITW, Uni Stuttgart, unveröffentlicht

2-U,  $H = 100$  m,  $D_b = 0.13$  m,  $D = 32/3$  mm

$S = 0.06$  m

$\dot{m} = 0.25$  kg/s (Wasser)

$\vartheta_{ini} = 10.0$  °C

	grout	soil
$\lambda$ / [W/(m K)]	2.2	2.3
$\rho$ / [kg/m <sup>3</sup> ]	2600	1460
$c$ / [J/(kg K)]	850	1500



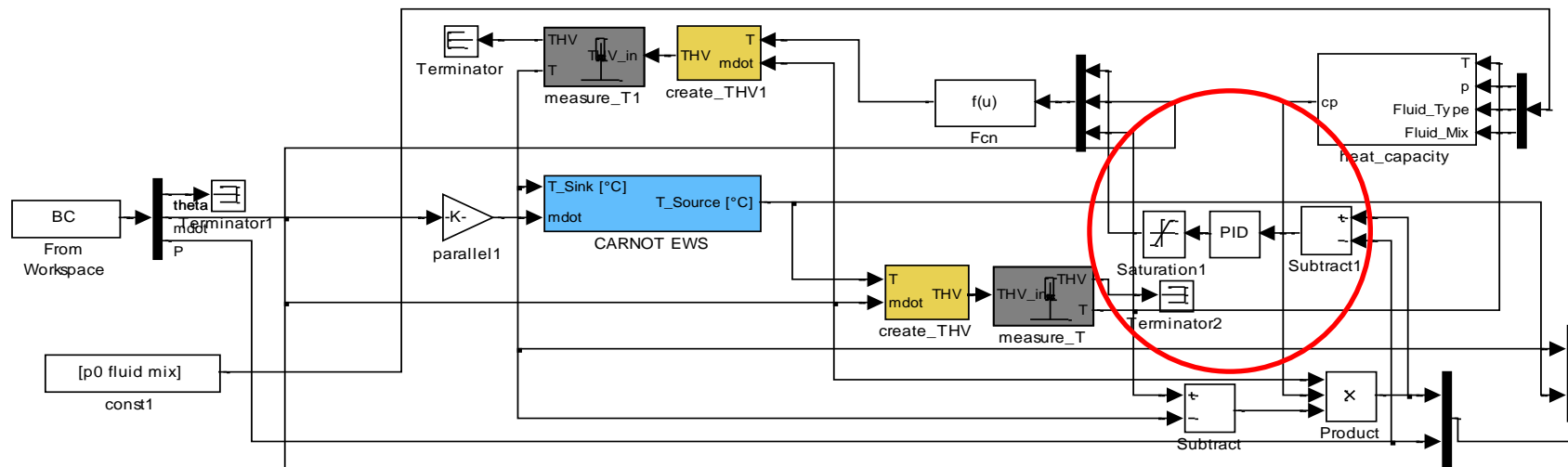
# Validierung EWS - Lastprofile

	Jan	Feb	Mar	Apr	May	Jun	Jul	Aug	Sep	Oct	Nov	Dec
<b>Q (H)</b>	0.43	0.21	0.09	0.03	0.00	0.00	0.00	0.00	0.00	0.03	0.22	0.43
<b>Q (H+DHW)</b>	1.24	0.65	0.36	0.25	0.26	0.25	0.21	0.21	0.25	0.26	0.50	1.19

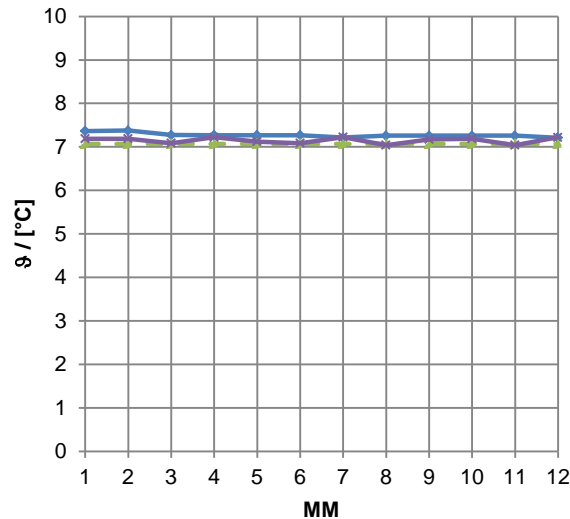
<b>type</b>	<b>2U</b>
<b>height</b>	50   75   100 m
<b>borehole diameter</b>	$D_b = 0.18$ m
<b>pipe</b>	$D = 32/3.0$ mm
<b>pipe thermal conductivity</b>	$\lambda_p = 0.48$ W/(m K)
<b>pipe distance</b>	$B_u = 0.1293$ m
<b>massflow</b>	$\dot{m} = 0.5$ kg/s (water-glycol 25%)
<b>undisturbed ground temperature</b>	$\vartheta_g = 10.0$ °C
<b>Geothermal gradient</b>	$T_{\text{Grad}} = 0.025$ K/m (= 0.05 W/m <sup>2</sup> )

	<b>grout</b>	<b>soil</b>
<b><math>\lambda</math> / [W/(m K)]</b>	1.0	2.0
<b><math>\rho</math> / [kg/m<sup>3</sup>]</b>	2000	2500
<b><math>c</math> / [J/(kg K)]</b>	1000	800

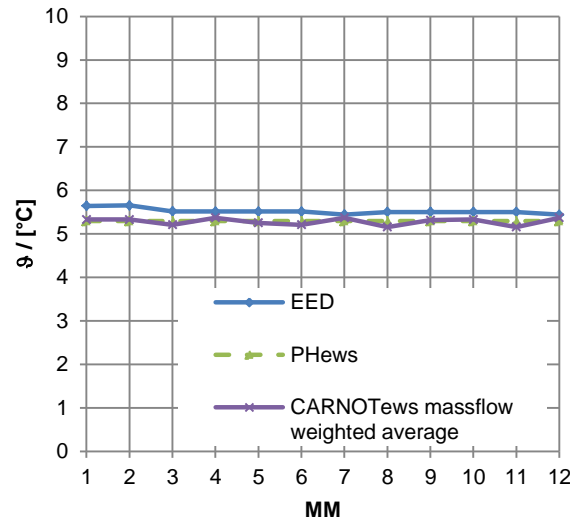
# Validierung CARNOT EWS



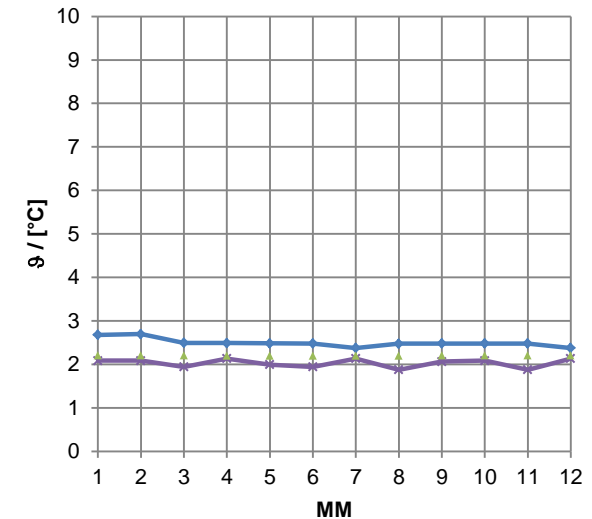
# Validierung Langzeitverhalten



100 m



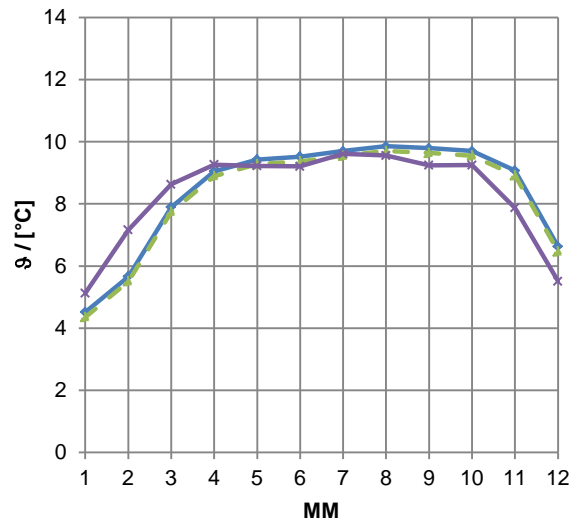
75 m



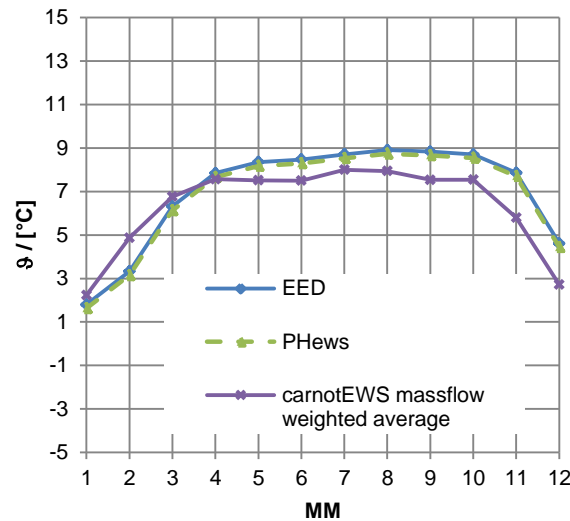
50 m

constant load  $\dot{Q} = 1667 \text{ W}$

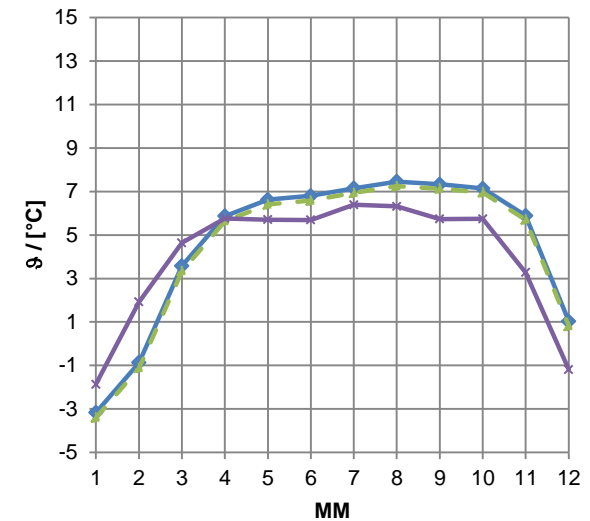
# Validierung Langzeitverhalten



100 m



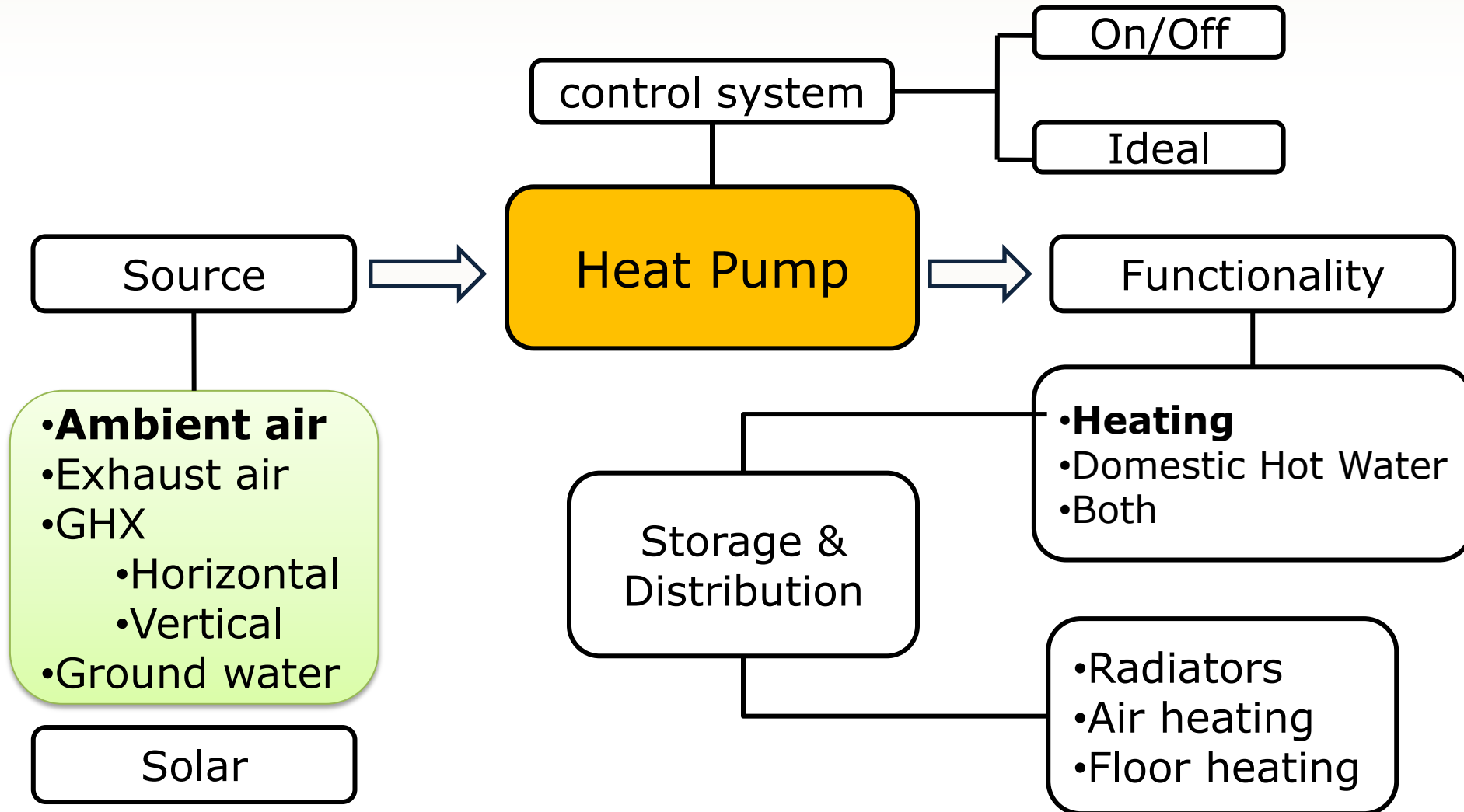
75 m



50 m

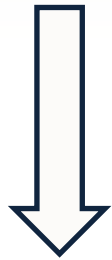
heating + dhw profile

# Heat Pump Options



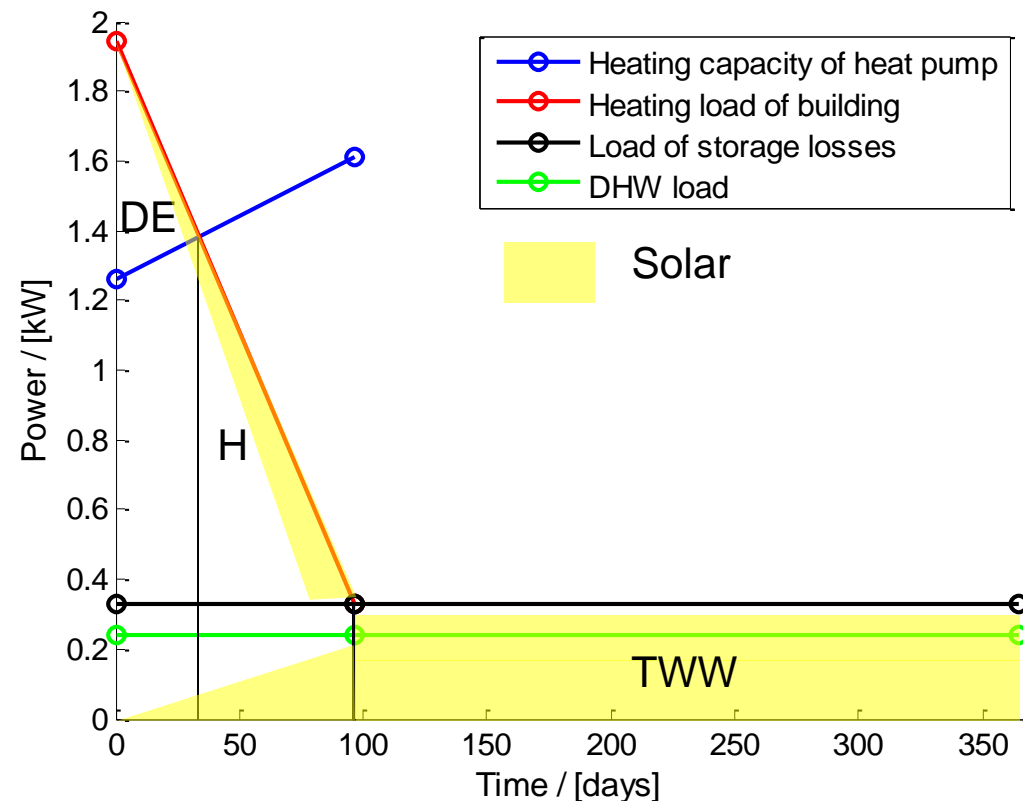
# new worksheet "heat pump" in PHPP

„enhanced“ bin method

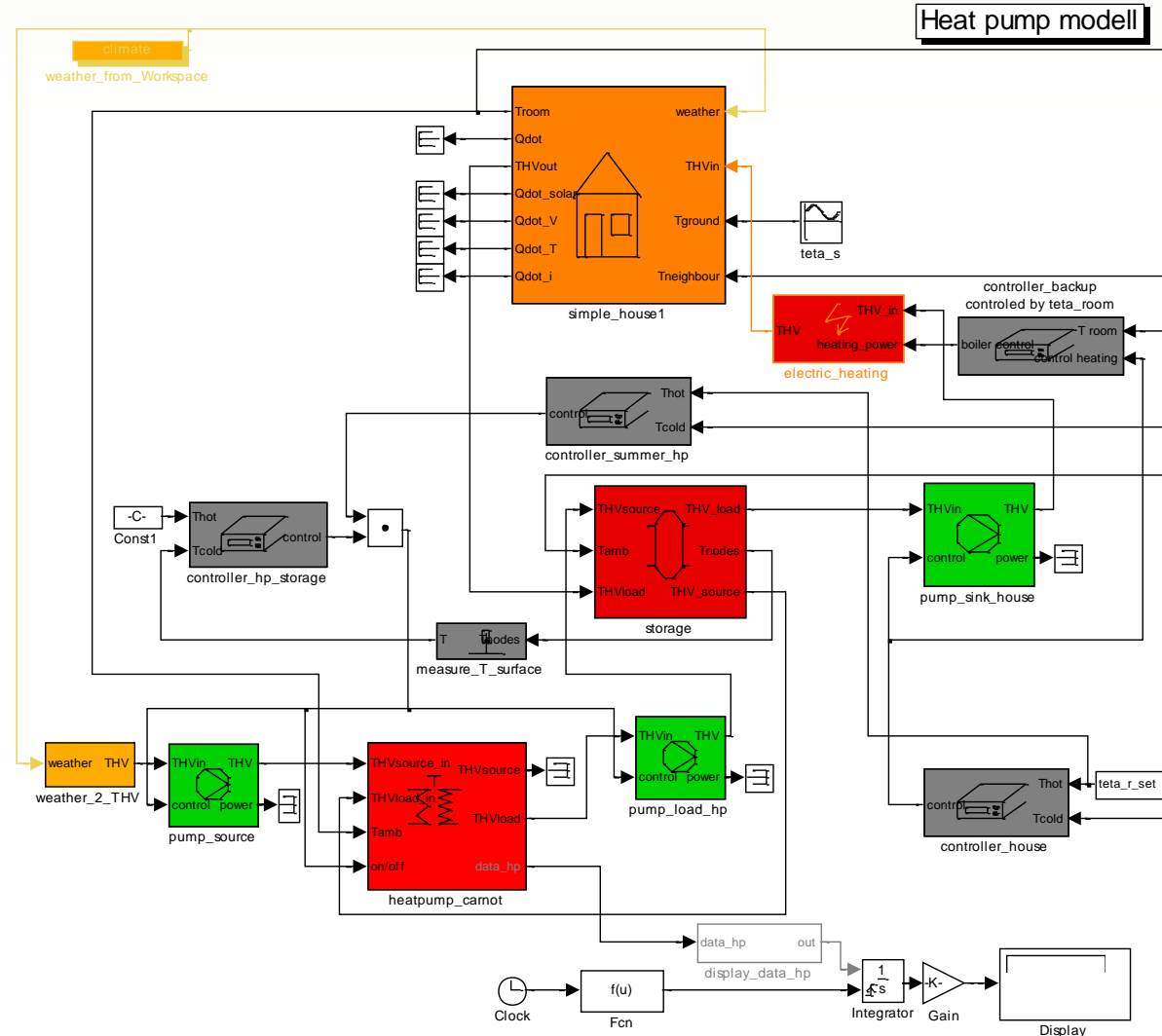


“Cross-Validation”  
by comparison with  
a model in Matlab/  
Simulink using  
Carnot Blockset

ToDo:  
Validation of HGHX  
Validation of Solar



# Air-Sourced HP Model in Simulink/Carnot

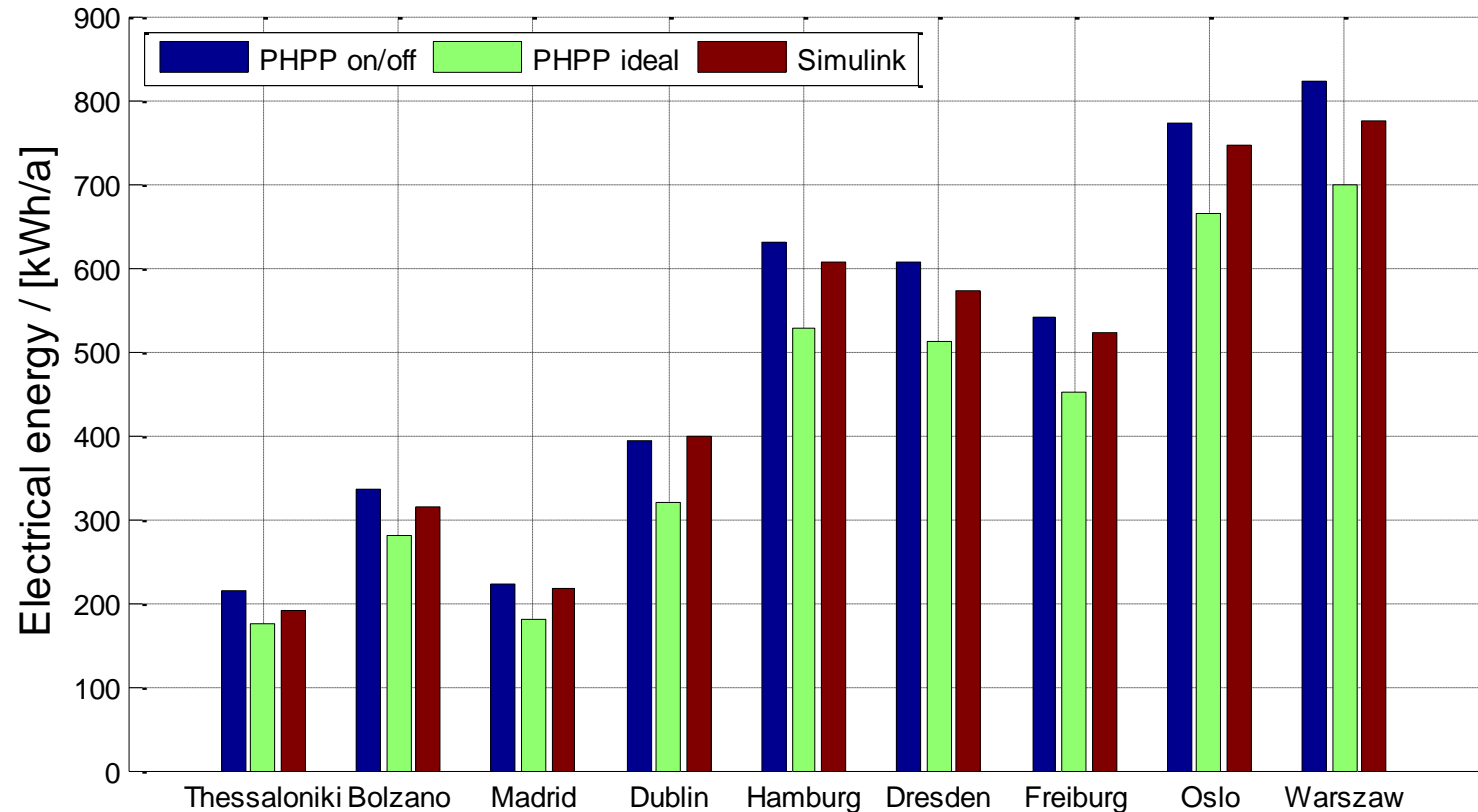


# Results

## Air source heat pump

Distribution system: floor heating without store ( $\vartheta_{\text{snk}}=35\text{ °C}$ )

A single family house adapted to Passive House standard in several climates.



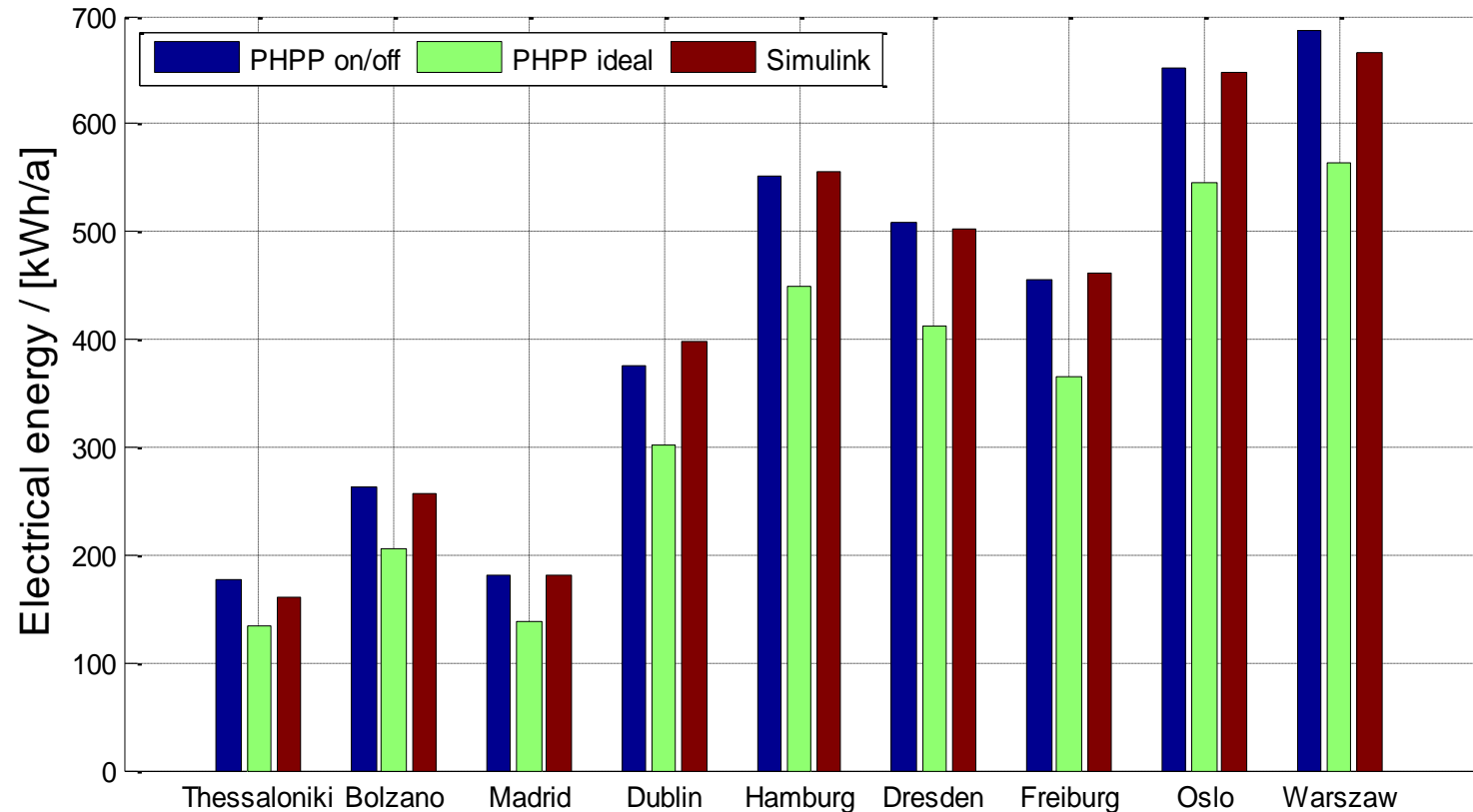


# Results

## GHX sourced heat pump

Distribution system: floor heating without store ( $\vartheta_{\text{snk}} = 35 \text{ }^{\circ}\text{C}$ )

A single family house adapted to Passive House standard in several climates



# Zusammenfassung: Modelle

- 0) Cross-Validierung Gebäudemodell (Mehrzonenmodell) (TRNSYS, Dynbil)  
vergleich Complex-simple building

## **(neue) Modelle**

- 1) Horizontal Ground Heat Exchanger
  - 1D / 2D / 2D radialsym.
  - Eisbildung, Latentwärme
- 2) V-GHX EWS (erweitert, validiert)

# Zukünftige Tätigkeiten

- automatisiertes Fitten des „simple building“ an das „complex building“
- Kopplung HAM-Wall (1D, pdepe)
- Kopplung Comsol (2D/3D FEM)
- Heat pump model (→ Facade integrated micro heat pump iNSPiRe)